

Том
LXXXVII
VII

Труды Всесоюзного научно-исследовательского
института морского рыбного хозяйства
и океанографии (ВНИРО)

1971

УДК 595.3 (265.54)

РОСТ ИЗОПОД (Isopoda, Crustacea)
ИЗ ЯПОНСКОГО МОРЯ

В.М.Стрельникова

Изучение роста животных очень важно при определении баланса энергии, решении вопросов биологической продуктивности водоемов, для нужд рыбоводства и т.д.

Цель настоящей работы - показать характер и скорость роста изопод, а также преемственность метода определения роста животных по энергетическому обмену, который предложен Г.Г.Бингергом [1].

Объектами исследования послужили массовые сублиторальные равнинные ракообразные *Idotea ochotensis* Brandt (Idoteidae) и *Cymodoce acuta* Rich (Sphaeromatidae). Сбор материала и экспериментальные работы проводили в течение лета и осени 1967 г. и весны-осени 1968-1969 гг. В условиях эксперимента изопод содержали в стеклянных кристаллизаторах при температуре $20 \pm 1^{\circ}\text{C}$. Воду и кори (энтероморфа) меняли регулярно. Энтероморфу всегда давали в избытке. В опытах использовали сразу несколько размерных групп ракообразных. Молодь помещали по 50-100 экз. в одном кристаллизаторе, а более крупных - по 1-5 экз. Строго отмечали время линек и прирост ракообразных в длину. Весовой прирост определяли по ранее установленной для названных видов изопод зависимости между весом и длиной тела [5]. Кривые роста рассчитывали по уровню обмена изопод [6].

Г.Г. Винберг [1] доказал, что пластический и энергетический обмен у животных подчиняются определенной математической зависимости и что на основании данных по дыханию и некоторым другим показателям (начальный и дефинитивный вес животных, калорийность, K_2 - коэффициент использования ассимилированной энергии на рост второго порядка) можно рассчитать кривую роста.

Абсолютный прирост веса (ΔW) к данному времени t , если животные достигают дефинитивных размеров, выражается уравнением

$$W_t = \left[W^{(1-\frac{\alpha}{\delta})} - (W^{(1-\frac{\alpha}{\delta})} - W_0^{(1-\frac{\alpha}{\delta})}) e^{-(1-\frac{\alpha}{\delta})kt} \right]^{\frac{1}{\delta-\alpha}} \quad (I)$$

Условные обозначения для уравнения (I) и исходные данные для расчета кривых роста из под по интенсивности обмена при $+20^{\circ}\text{C}$ приведены в табл. I.

Таблица I

Условные обозначения	I.ochotensis	C.acuta	Содержание
$K_2 = \frac{\Pi}{\Pi+T}$	0,48	0,55	Коэффициент использования энергии усвоенной пищи на рост (начальное значение)
$V = \frac{K_2}{1-K_2}$	0,92	1,22	Коэффициент, показывающий соотношение между приростом и тратами на обмен
α	2,34	1,99	Условная величина, рассчитанная по известным значениям α и δ .
δ	2,75	2,85	Показатель степени при t в уравнении зависимости веса (W) от длины (t) пачка
α	0,85	0,70	Показатель степени при весе в уравнениях роста и зависимости обмена от веса

Продолжение табл. I

Условные обозначения	I. ochotensis	C. acuta	Содержание
$\frac{g}{g-a}$	6,7	3,3	Показатель степени параболы
W_0	0,000395	0,00065	Начальный сырой вес раков, г
$W_0^{(1-\frac{g}{g-a})}$	0,309	0,III	
W_d	0,73	0,72	Дефинитивный сырой вес раков, г
$W_d^{(1-\frac{g}{g-a})}$	0,954	0,906	
$T_i = A \cdot 4,86 \cdot 24 \cdot C^{-1}$	0,042	0,014	Суточные траты энергии на обмен животного при весе 1 г, кал.
$K = W_d^{-(1-\frac{g}{g-a})} \cdot T_i \cdot v$	0,0405	0,0188	Константа, определяющая скорость роста
$e^{-(1-\frac{g}{g-a})kt}$	$e^{-0,0061t}$	$e^{-0,0056t}$	Показатель степени при основании натуральных логарифмов
A	0,250	0,142	Константа, показывающая интенсивность обмена из под весом 1 г, мл O_2 /час
C	686	II86	Калорийность 1 г сырого веса, кал
$Q = A \cdot W^{\frac{g}{g-a}}$	$Q = 0,250W^{0,85}$	$Q = 0,142W^{0,70}$	Зависимость дыхания от веса раков, мл O_2 /эка.час

В численной форме уравнения кривых роста при $+20^{\circ}\text{C}$ имеют

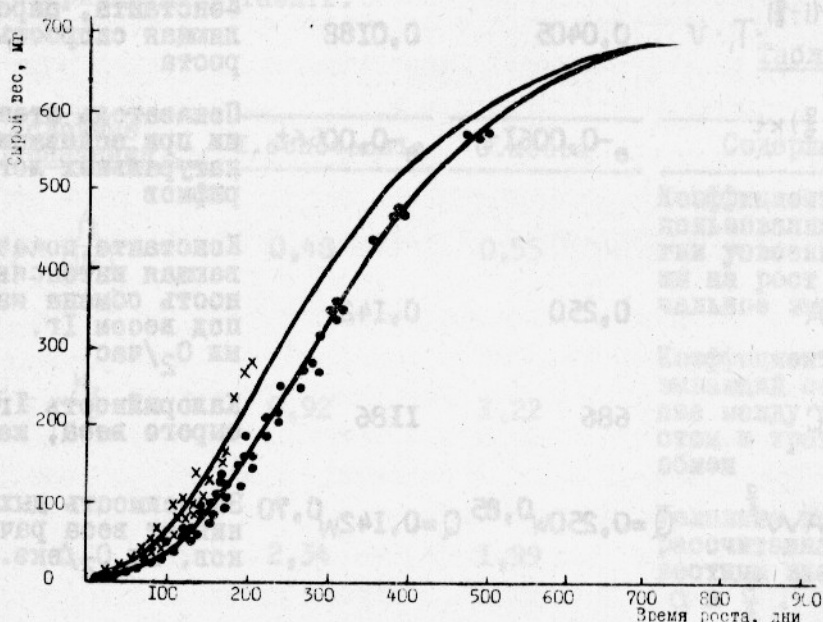
вид

$$W_t = (0,954 - 0,645e^{-0,0061t})^{6,7} \quad \text{для } I. \text{ ochotensis} \quad (2)$$

и I.кот охочейской

$$W_t = (0,906 - 0,795e^{-0,0056t})^{3,3} \quad \text{для } C.acuta. \quad (3)$$

Нанесенные на график величины абсолютного прироста животных (данные экспериментов) ложатся около расчетной кривой (см. рисунок). Самые крупные ракообразные, которые были отловлены нами в море, достигали веса 0,7 г (при этом идоты имели длину 46 мм, а сфероматиды - 24 мм). Этот вес раков при расчетах кривых роста был принят за дефинитивный. По расчетной кривой, *I.ochotensis* достигают веса 0,7 г через 770 дней, а *C.acuta* - через 820 дней. При внимательном рассмотрении рисунка видно, что при весе 0,7 г, принятом за дефинитивный, расчетная кривая только начинает выходить на плато, и есть все основания полагать, что вес, равный 0,7 г, в действительности не является дефинитивным ни для *I.ochotensis*, ни для *C.acuta*. Литературные данные подтверждают это [2, 4].



Абсолютный прирост *I.ochotensis* (•) и *C.acuta* (x) при +20°C

Подобные же расчеты приведены в работах Л.М.Сущени [7] для бокоплава *Orchestia bottae* (M-Edw.), Н.Н.Хмелевой [8] для *Artemia salina* и в других исследованиях.

По эмпирическим данным определены абсолютный и относительный суточный прирост *I.ochotensis* размером 3-26 мм и *C.acuta* длиной 2-14 мм (табл.2). Сначала абсолютный суточный прирост возрастает, но по достижении определенного размера или веса животного величина абсолютного суточного прироста падает. У *I.ochotensis* такое явление наблюдается по достижении 20 мм, а у *C.acuta* - по достижении 12 мм. Для этих же размерных групп отмечено закономерное снижение величины относительного суточного прироста с 12,1 до 0,84% от веса тела раков у *I.ochotensis* и с 7,25 до 2,2% у *C.acuta*.

Таблица 2

Размерная группа, мм	Суточный прирост		Размерная группа, мм	Суточный прирост	
	абсолют- ный, мг	относи- тельный, %		абсолют- ный, мг	относи- тельный, %
<i>I.ochotensis</i>					
3- 4	0,047	12,1	2- 2,5	0,047	7,25
4- 5	0,109	12,5	2,5- 3	0,068	5,6
5- 6	0,105	6,5	3- 3,5	0,093	4,5
6- 7	0,141	5,3	3,5- 4	0,12	3,7
7- 8,5	0,266	6,5	4- 4,5	0,15	3,3
8,5-10	0,35	5,0	4,5- 5	0,17	2,65
10-12	0,59	5,4	5- 6	0,45	5,1
12-14	0,73	4,05	6- 7	0,60	4,09
14-16	0,87	3,1	7- 8	0,74	3,2
16-18	0,95	2,4	8-10	1,77	5,3
18-20	1,18	2,1	10-12	2,40	4,0
20-22	1,05	1,4	12-14	2,20	2,2
22-24	1,04	1,09			
24-26	1,03	0,84			
<i>C.acuta</i>					

Процесс роста ракообразных сопровождается периодическим сбрасыванием хитинового пекрова. Сырой вес сбрасываемых лигочных юкорок (W_{ex} , мг) в среднем составляет 35% от преддипночного сырого веса раков (W , мг) у *I.ochotensis* и 27,5% у *C.acuta*. Между сырым весом сбрасываемого экзоскелета и сырым весом раков существует прямолинейная зависимость:

$$W_{ex} = 0,350 W \quad (\text{для } I. ochotensis) \quad (4)$$

и

$$W_{ex} = 0,275 W \quad (\text{для } C. acuta). \quad (5)$$

Интервалы между линьками зависят от возраста раков и температуры воды (Wege, 1911, цит. по [3]). У идотей молодь при $+20^{\circ}\text{C}$ линяет через 9-10 дней, к седьмой линьке межлиночный период достигает 13-15 дней, к десятой - 20 и продолжает последовательно удлиняться. Аналогичные сведения относительно изопод приводит Лежье [10].

Связь между продолжительностью линочного цикла (D_{ex} , сутки) и весом раков (W , мг) может быть выражена уравнением Х.Курата [9]:

$$D_{ex} = d_0 + k' W. \quad (6)$$

Для исследуемых видов изопод эта зависимость численно может быть выражена уравнениями

$$D_{ex} = 10 + 0,153 W \quad (\text{для } I. ochotensis) \quad (7)$$

и

$$D_{ex} = 12 + 0,08 W \quad (\text{для } C. acuta) \quad (8)$$

Установлено, что за период роста при $+20^{\circ}\text{C}$ до достижения веса 0,7 г самцы идотей линяют 19-22 раза, а самцы сфероматид - 15-18 раз. Число линек у самок несколько больше, чем у самцов того же размера (примерно 23-28 у идотей и 18-23 у сфероматид). Большее число линек у самок изопод объясняется дополнительным сбросом части хитинового покрова после вымета молоди.

Выводы

1. Кривые роста изучаемых видов изопод S-образны, так как ракки достигают определенных максимальных размеров и веса.

2. По расчетным кривым для достижения веса 0,7 г при $+20^{\circ}\text{C}$ идотеям требуется 770 дней, а сфероматидам 820.

Л и т е р а т у р а

1. Винберг Г.Г. Взаимосвязь интенсивности обмена и скорости роста у животных. Сб."Биология моря". Вып.15. Киев, 1968.
2. Гурьянова Е.Ф. Фауна СССР. Т.7. Вып.3, 1936.
3. Келтенисова М.В. Размножение и рост водяного ослика (*Asellus aquaticus* L.). Труды ВГБО. Т.4, 1952.
4. Кусакин О.Г. К вопросу о систематике некоторых видов *Idotea* Fabr (Isopoda, Valvifera) дальневосточных морей СССР. Труды ЗИН АН СССР. Т.18, 1955.
5. Стрельникова В.М. Размерно-весовая характеристика ракообразных *Idotea ochotensis* и *Cymodoce acuta* (Isopoda) из Японского моря. "Гидробиол.журн.". Т.6, № I, 1970.
6. Стрельникова В.М. Интенсивность обмена у равноногих ракообразных *Idotea ochotensis* Brandt (Idoteidae) и *Cymodoce acuta* Rich (Sphaeromatidae) из Японского моря. "Гидробиол.журн." Т.7, 1971, № I.
7. Сущеня Л.М. Элементы энергетического баланса амфибонтного бокоплава *Orchestia bottae* M-Edw (Amphipoda-Talitroidea). Сб."Биология моря". Вып.15. Киев, 1968.
8. Имелева Н.Н. Затраты энергии на дыхание, рост и размножение у *Artemia salina* L. Сб."Биология моря". Вып.15. Киев, 1968.
9. Kurata, H. Studies on the age and growth of Crustacea. Bull.Hokk.Reg.Fish.Res.Lab., N 24, 1962.
10. Lejuez, R. Comparaison morphologique, biologique et génétique de quelques espèces du genre *Sphaeroma* Latreille (Isopodes Flabellifères). Archives des Zoologie experimentall et générale, N 3, 1966.

The growth rate of isopods from the Sea of Japan.

V.M.Strelnikova

S u m m a r y

Proceeding from the data on respiration of some species of isopods and some other indices the growth curves have been estimated. The theoretic curve approximates well the empiric data.

The growth investigations of isopods have resulted in ascertaining certain mathematical relations, namely between the wet weights of exuviae and those of isopods in the pre-moult period, and between the length of the moult cycle and the wet weights of isopods.

R E S U M E

1. Кратко описывается метод изучения роста изоподов, на основе которых построены теоретических кривых роста изоподов из Японского моря.

2. По расчетам, изучены при температуре 0,7 и 20°С изоподы среднего 770 дм., с коэффициентом 5,0.